# 論文 フレッシュモルタルのレオロジー性質に及ぼす骨材相の影響

渡辺 健治<sup>\*1</sup> · 小野 博宣<sup>\*2</sup>

要旨:本研究では,経時的あるいはポンプ圧送などによって変化していくコンクリートのレオ ロジー的な性質に注目し、これを室内でシミュレートすることを最終目的として、モルタルを 用いて実験を行った。再撹拌による試料のレオロジー性質の変化は、経時変化とは異なり、特 定のせん断応力度を基点に変化していく様子が観察された。このレオロジー性質の変化の程度 は、骨材相によって異なることを実験的に検討した。また、同様な状況はコンクリートを用い た実験でも確認された。

キーワード:フレッシュコンクリート,フレッシュモルタル,レオロジー,ポンプ圧送。

# 1. はじめに

コンクリートをポンプ圧送する時に,スラン プフローが低下することはよく知られており, それは単位セメント量の多い高強度コンクリー トでは顕著である。しかし、現場で流動化した 場合や遅延形の高性能AE減水剤を用いた場合に は、同じスランプであっても、標準形を使った 場合に比べてスランプロスが少ないなど、ポン プ圧送によるコンクリートの品質変化は,いま だ合理的に解明されているとはいえない。

そこで筆者らは,フレッシュコンクリートの ポンプ圧送による品質変化(スランプフローロ ス)のメカニズムを解明することを最終目的と して,室内実験的にフレッシュコンクリートの 品質変化を検討してきた1),2)。本研究では,ミキ サを用いた再撹拌によってフレッシュモルタル の流動性が変化する点に着目し, モルタル中の 骨材相とレオロジー性質の変化について実験的 な検討を行った。また,さらに骨材を増やした コンクリートの場合についても若干の検討を加 えた。

### 2. モルタル実験の概要

### 2.1 使用材料

セメントには普通ポルトランドセメントを用 い,骨材には2.5mm以下の木曽川系川砂(比重 2.56)を表乾状態で用いた。高性能AE減水剤

は、ポリカルボン酸塩系の高性能AE減水剤(標 準形)を用いた。

# 2.2 調合条件

実験では,表-1に示すような調合条件の試料を 用いた。水セメント比(W/C)は30%および35% とし,セメントに対する骨材の重量比(S/C)は それぞれ1.2および1.3を中心に±0.1の調合を用意 した。試料の練り上がり時の0打モルタルフロー 値が210mm ± 5mmの範囲におさまるよう,高性能 AE減水剤の添加量を調節した。

# 2.3 試験測定項目

試料のレオロジー性質(降伏値および塑性粘 度)は,0打モルタルフロー試験およびロート流 下試験で簡易に測定した。降伏値を推定するため に用いた0打モルタルフロー試験とは, JIS R 5201 で用いられるモルタルフロー試験と同様の手順だ が,15回の落下を行わず,コーンを引き上げた時

表-1 モルタルの調合表

Series	W/C	S/C	Ad	
M3011		1.1	1	
M3012	30%	1.2	0.9	
M3013		1.3	0.8	
M3512		1.2	0.9	
M3513	35%	1.3	0.9	
M3514		1.4	0.9	

註) W/C:水セメント比, S/C: 細骨材-セメント重量比, Ad:高性能AE減水剤の添加量(%C).

<sup>\*1</sup> 中部大学講師 工学部建築学科 工博 (正会員)

<sup>\*2</sup> 中部大学教授 工学部建築学科 工博 (正会員)

に,自重で崩れた試料の拡がり直径(0打モルタ ルフロー値)を測定する方法である。

塑性粘度を推定するために用いたロート試験 では,Jロート(JSCE-F541)の吐出口が,11, 14および17mmとなるように切断したそれぞれ J11, J14およびJ17ロートを用いた。塑性粘度を 算定する場合には,3種類のロートそれぞれで推 定された塑性粘度の平均をとって塑性粘度とす ることにした。0打モルタルフロー試験および各 種Jロート試験を用いたレオロジー定数の簡易推 定手法の詳細については既往の研究を参照され たい10。

# 2.4 実験手順

試料はホバートミキサー(容量20リットル) で2リットル練りとした。混練手順としては,空 練りの後,高性能AE減水剤の入った混練水を添 加して150秒間混練した。練上り直後に0打モル タルフロー試験を行って,目的のコンシステン シーになっていることを確認してからロート試 験を行い,レオロジー定数を測定した。

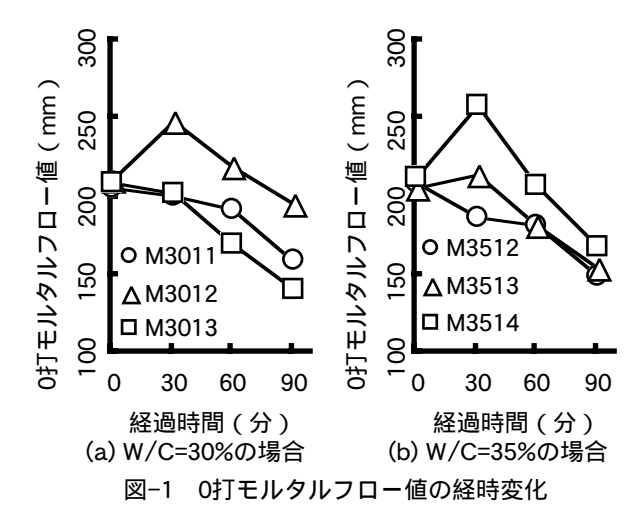
経時変化実験では、練り上がりから30毎に90分 後までレオロジー定数を測定した。再撹拌実験で は、練り上がりから30分後に1~30分程度ミキ サーで撹拌し,試料の流動性の違いを検討した。

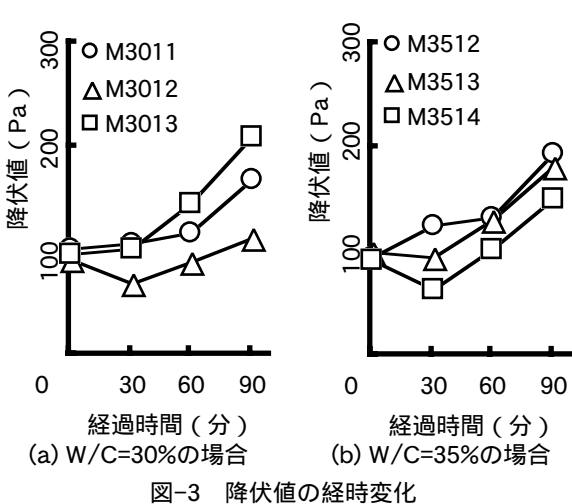
# 3. モルタル実験結果と考察

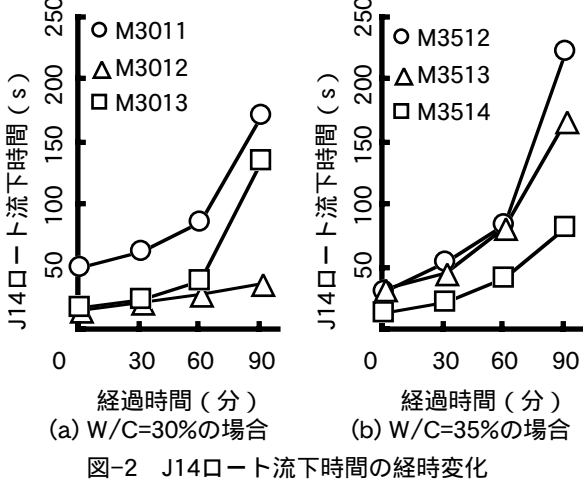
### 3.1 経時変化

試料の練り上がりから90分後までの0打モルタ ルフローおよびJ14ロート流下時間の変化を図-1 および図-2にそれぞれ示す。30分後に一旦やや軟 らかくなる傾向もみられるが,全体には時間とと もにフローダウンしており,流下時間も増加して いる。

0打モルタルフロー値およびロート流下時間を 用いて試料のレオロジー定数を推定した結果を図 -3および図-4に示す。多少のバラツキはみられる ものの,降伏値は100Pa程度からはじまり90分後







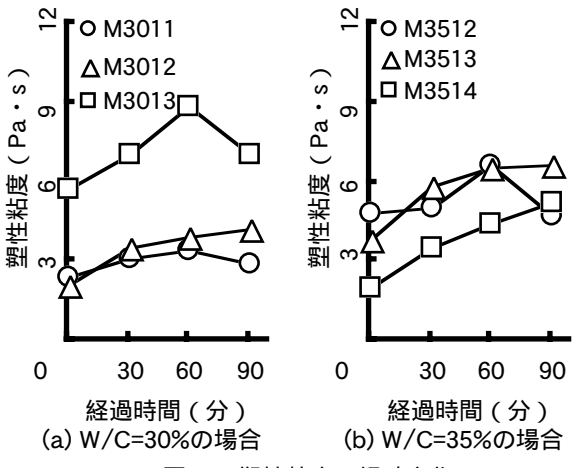


図-4 塑性粘度の経時変化

には200Pa程度まで増加している。同様に,塑性 粘度も時間とともに増加している様子が観察される。

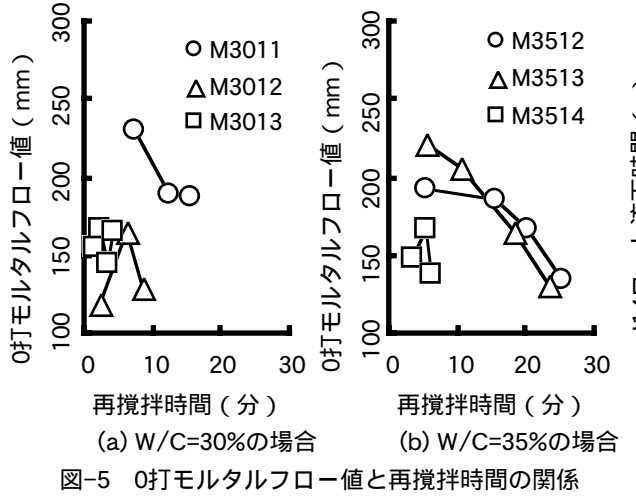
# 3.2 再撹拌による変化

経時変化と同様に、30分後に再度撹拌した試料の、再撹拌時間と0打モルタルフローおよびJ14ロート流下時間の変化を図-5および図-6にそれぞれ示す。再撹拌時間は1分から最大で20分を超えており、試験値には、せん断力の影響の他に、経時変化の影響も含まれていることになる。W/C=30%のシリーズが再撹拌時間とあまり相関がみられないものの、W/C=35%のシリーズでは、撹拌時間が増加するほど0打モルタルフロー値が小さくなる傾向が観察される。また、ロート流下時間も撹拌時間の増加とともに増加している。

0打モルタルフロー値およびロート流下時間を 用いて試料のレオロジー定数を推定した結果を 図-7および図-8に示す。多少のバラツキはみられるものの,W/C=35%のシリーズでは,撹拌時間が増加するほど降伏値が増加する傾向がみられる。一方,塑性粘度の変化を示した図-8によれば,全体的には再撹拌時間の増加とともに塑性粘度が小さくなる傾向は読み取れるものの,個々のデータにはバラツキが大きかった。これは,降伏値が大きいほどロート内部で閉塞ぎみとなったことも一因と考えられる。

# 3.3 コンシステンシー曲線による検討

コンシステンシー座標(ひずみ速度-せん断応力度の関係図)の上に,コンシステンシー曲線(レオロジー性質から算定した試料の流動曲線)をプロットし,せん断応力を受けた試料のコンシステンシー曲線が,どのような変化を示すかを検討した。コンシステンシー曲線の変化の一例を,経時変化の場合および再撹拌による場合それぞれ図-9および図-10に示す。紙面の都合から,それ



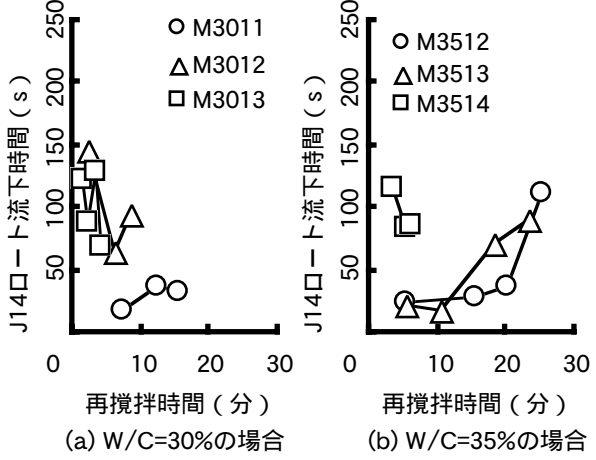


図-6 J14ロート流下時間と再撹拌時間の関係

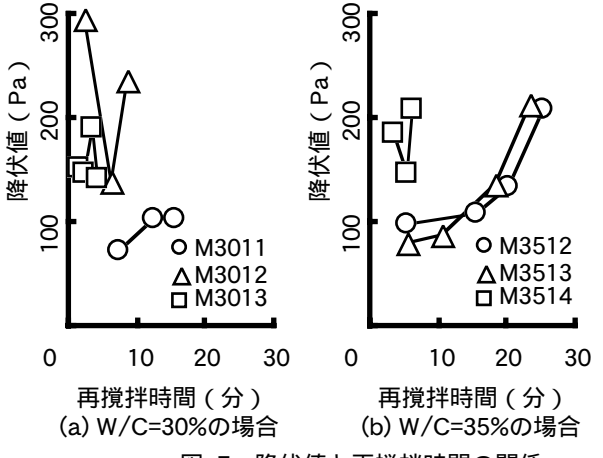


図-7 降伏値と再撹拌時間の関係

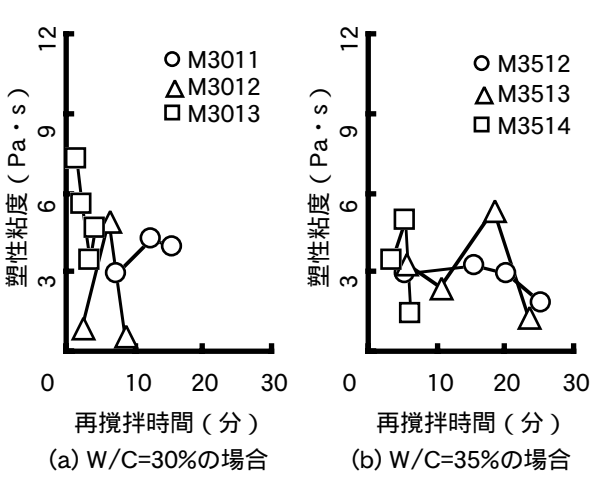
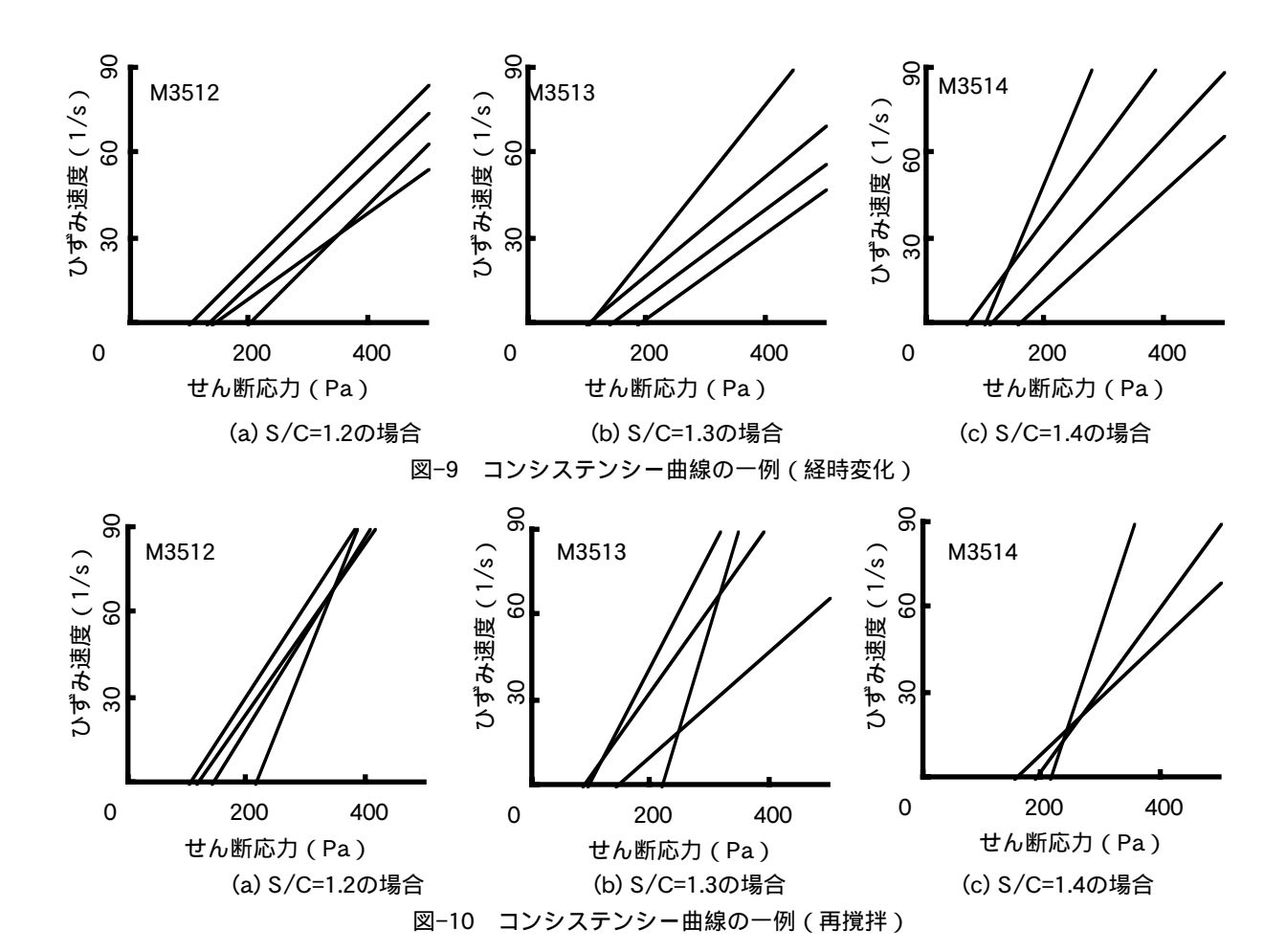


図-8 塑性粘度と再撹拌時間の関係



ぞれの図にはW/C=35%の場合を例示した。経時変化の場合は、全体として、コンシステンシー曲線は平行あるいはやや上に開くような形で散在していることが分かる。一部例外的な点もあるが、曲線が交わることはほとんどない。ところが、再撹拌の場合は、コンシステンシー曲線がとある特定のせん断応力レベルで交差する現象が観察されている。図-10(b)に多少のバラツキがみられるものの、図-9と比較すると、交点を有するか否かの違いは明瞭である。

細骨材-セメント比(S/C)と図-10で得られたコンシステンシー曲線の交点におけるせん断応力の関係をプロットしたものを図-11に示す。交点が複数得られた場合は,全ての交点の平均値を採用した。図中にはW/C=30%の場合も併記したが,M3011(W/C=30%でS/C=1.1の場合)は,交点が得られなかったので,図中にはプロットしていない。細骨材-セメント比(S/C)が大きくなるほど,交点におけるせん断応力が減少する傾向がみられ,両者に相関関係があるものと推

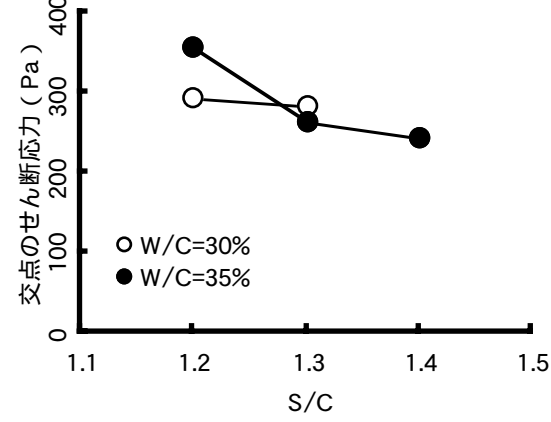


図-11 S/Cとコンシステンシー曲線交点に おけるせん断応力の関係

### 測できる。

再撹拌中の試料は,何らかのせん断応力状態に置かれており,その時間の長短を今回の実験ではパラメータとした。モルタル試料をペーストと細骨材から成る2相材料と仮定すると,全体系としては同じせん断変形であっても,ペースト部分の変形量は,単位ペースト量によって異なる。単位ペースト量の違いとは,図-11中でW/CやS/Cとして表現されており,実際にせん断変形するペース

トの質と量によってコンシステンシー曲線の交 点の応力状態が異なってくると考えられる。

# 4. コンクリート実験

### 4.1 実験の概要

細骨材を含むモルタルを巨視的にマトリックスと考え,粗骨材相とマトリックス相から成るコンクリートを再撹拌した場合のレオロジー性質の変化についても,若干の検討を行った。実験の詳細については既報<sup>2</sup>を参照されたい。

実験に用いた試料の標準調合を表-2に示す。標準形の高性能AE減水剤(ポリカルボン酸系)を用いたCS30は,練上がり時の目標スランプフローを60cmとし,高性能AE減水剤の添加量で管理幅±1.5cmとなるように調整した。遅延形の高性能AE減水剤を用いたCR30の場合は,CS30と同量の高性能AE減水剤の添加量で実験を行い,練上がり直後のスランプフロー値は管理しなかった。

実験では,モルタル実験と同様に,一旦練り上がったコンクリートを30分後に再度コンクリートミキサ(1軸強制練り,容量50リットル)で撹拌し,撹拌時間とフレッシュコンクリートの品質変化を検討した。

表-2 コンクリートの標準調合 (kg/m³)

W/C	s/a	Air	W	С	S	G	Ad
30%	50%	2%	170	567	807	816	1.2%C

註)W/C:水セメント比,s/a:細骨材率,Air:空気量,W:水,C:セメント,S:細骨材,G:粗骨材,Ad:高性能AE減水剤の添加量。

### 4.2 レオロジー性質の変化

モルタル実験と同様に,再撹拌によるコンクリートのレオロジー性質(降伏値および塑性粘度)の変化を図-12に示す。標準形の高性能AE減水剤を使ったCS30は,再撹拌時間の増大とともに,降伏値も増加しているものの,遅延形を使ったCR30は,再撹拌時間が増加してもそれほど降伏値には大きな変化はみられなかった。また図-12(b)に示す塑性粘度に注目すると,いずれの種類の高性能AE減水剤を用いた場合でも,再撹拌時間が増加するほど塑性粘度は減少していった。

### 4.3 コンシステンシー曲線

モルタル実験と同様に,再撹拌によるコンクリートのコンシステンシー曲線の変化を図-13に示す。同図によれば,標準形の高性能AE減水剤を用いたCS30の場合は,明瞭なコンシステンシー曲線の交点が得られるものの,遅延形の高性能AE減水剤を用いたCR30の場合は,明瞭な交点が得られなかった。CS30の交点のせん断応力およびひずみ速度はそれぞれ約720Paおよび10.2/sであった。

ミキサによる再撹拌のようなせん断力が加わることにより、コンクリートのコンシステンシー曲線が、このように特定の応力状態(図-13(a)でいう交点)を通過しながら変化すると仮定すれば、再撹拌時間の大小によってコンクリートのレオロ-ジー性質がどのように変化するかを予測する手がかりになると考えられる。

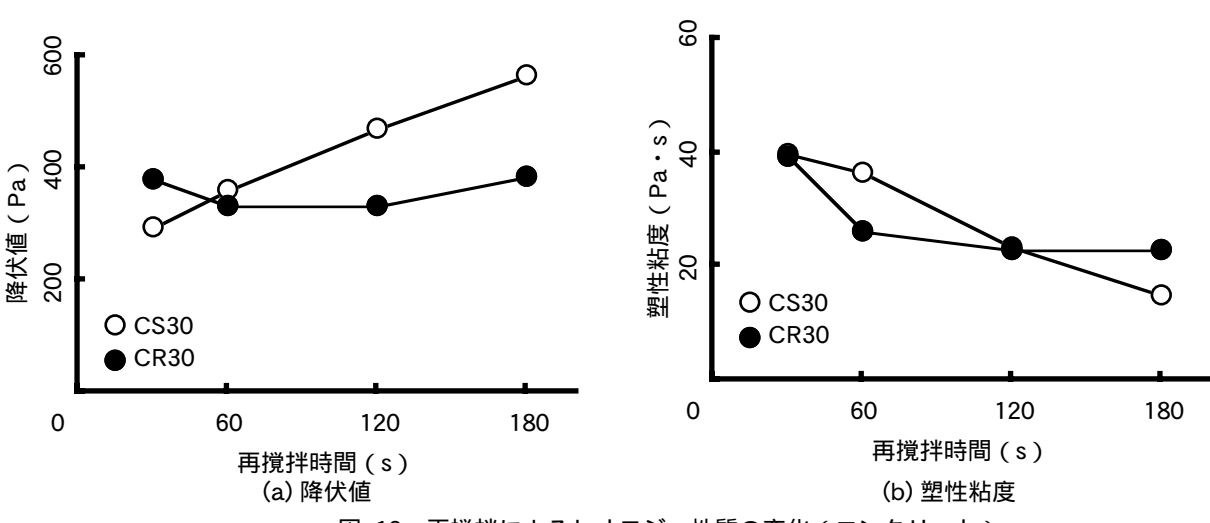
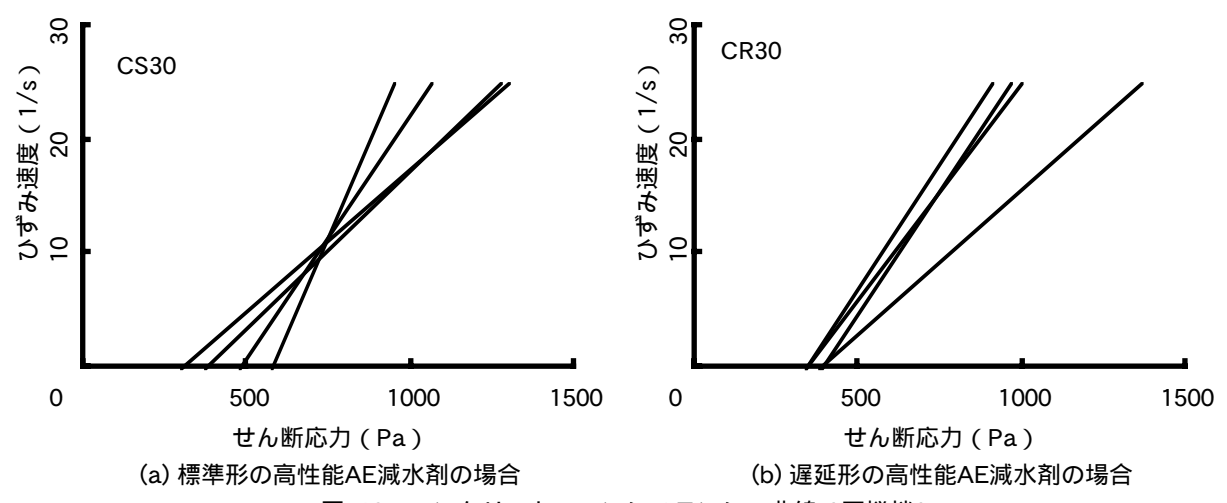


図-12 再撹拌によるレオロジー性質の変化(コンクリート)



# 図-13 コンクリートのコンシステンシー曲線(再撹拌)

### 5. まとめ

本研究では,せん断力を受けるフレッシュモルタルのレオロジー性質の変化について,骨材相に注目して実験的に検討を行った。また,より骨材相の影響を受け易いコンクリートの場合についても若干の実験的な検討を加えた。

せん断力を受けるコンクリートのレオロジー 性質の変化の構成即が分かれば,将来的に,高

い圧力とせん断力を受けるポンプ圧送前後のフレッシュコンクリートの品質変化を事前に予測する手がかりになると考えられる。今後,実際のポンプ圧送前後のコンクリートのレオロジー性質の変化について検討をすすめる予定である。

### 謝辞

本研究は,佐久間厚志君,土方利浩君,平松千永君の助力を得た。また,本研究費の一部は,文部省科学研究費補助金・奨励研究(A)およびハイテクリサーチセンター整備事業の援助によった。付記して謝意を表する。

### 参考文献

- 1) 渡辺健治,小野博宣,谷川恭雄:フレッシュ モルタルのレオロジー性質に及ぼす再撹拌の 影響,コンクリート工学年次論文集,Vol.22, No.2, pp.427-432, 2000.7
- 2) 渡辺健治,小野博宣:フレッシュコンクリートのレオロジー性質に及ぼす再撹拌の影響,コンクリート工学年次論文集,Vol.23, No.2,pp.295-300,2001.7